

Dokument elektroniczny

D. Kulins
01.02.2024

OKS
30.01.2024
A. Grynowski

URZĄD MIASTA OSTROŁĘKI
WPŁYNEŁO / ~~ZŁOŻONO OSOBIŚCIE~~

Miejsce i data sporządzenia dokumentu

2024-01-30

Dane nadawcy

Bartłomiej Druszcz
NetWorkS! Sp. z o.o.

DATA 29.01.2024
NR REJ. Mdok 3504107120241P
ILOŚĆ ZAŁ. 5
podpis D. Grynowski

Dane adresata

MIASTO OSTROŁĘKA (07-400 OSTROŁĘKA, WOJ.
MAZOWIECKIE)

INFORMACJA

94014 - art.152 POŚ BD

Informuję o zmianie danych w zakresie wielkości i rodzaju emisji dla instalacji radiokomunikacyjnej 23015 (94014N!) WOS_OSTROLEKA_WARSZAWSKA27 zlokalizowanej w miejscowości OSTROŁĘKA, ul. WARSZAWSKA 27.

Załączniki:

- 1.
- 2.
- 3.
- 4.
- 5.

- [N!94014_informacja-sig.pdf](#)
- [opłata.pdf](#)
- [94014_2811_2023_OS.pdf](#)
- [2023.11.21_Druszcz_TMPL-sig.pdf](#)
- [TMPL pełnomocnictwo Piotr Pióciennik.pdf](#)

Dokument został podpisany, aby go zweryfikować należy użyć oprogramowania do weryfikacji podpisu. Data złożenia podpisu: 2024-01-30T07:10:56.424+01:00

Podpis elektroniczny

WERYFIKACJA PODPISU
STATUS
POPRAWNY / BŁĘDNY
2024-01-30 D. Grynowski
data i podpis



NetWorks Sp. z o.o.
Laboratorium Badań Środowiskowych
ul. Józefa Piusa Dziekońskiego 3
00-728 Warszawa
e-mail: Laboratorium@networks.pl



AB 419

S P R A W O Z D A N I E 2811/2023/OS
Z POMIARÓW PÓL ELEKTROMAGNETYCZNYCH
WYKONANYCH DLA POTRZEB OCHRONY ŚRODOWISKA

Badany obiekt: Instalacja radiokomunikacyjna T-Mobile Polska S.A.
Numer i nazwa: 23015 (94014N!) WOS_OSTROLEKA_WARSZAWSKA27
Adres: OSTROŁĘKA, WARSZAWSKA 27, Powiat m. Ostrołęka, WOJ. MAZOWIECKIE

Data wykonania pomiarów: 2024-01-27

Sprawozdanie z badań bez pisemnej zgody laboratorium nie może być powielane inaczej niż w całości.
Wynik przedstawione w niniejszym sprawozdaniu odnoszą się wyłącznie do badanego obiektu i do warunków i konfiguracji urządzeń w dniu wykonywania pomiarów.

1. Właściciel badanego obiektu:

T-Mobile Polska S.A., ul. Marynarska 12, 02-674 Warszawa

2. Zleceniodawca:

T-Mobile Polska S.A., ul. Marynarska 12, 02-674 Warszawa

3. Przedstawiciel zleceniodawcy:

NetWorks Sp. z o.o.

4. Zakres zlecenia:

Wykonanie badania i opracowanie sprawozdania z pomiarów natężenia pola elektrycznego i pola magnetycznego dla instalacji radiokomunikacyjnej T-Mobile Polska S.A. zlokalizowanej w miejscowości OSTROŁĘKA, WARSZAWSKA 27.

5. Cel zlecenia:

Wykonanie pomiarów pól elektromagnetycznych w otoczeniu instalacji radiokomunikacyjnej 23015 (94014N!) WOS_OSTROLEKA_WARSZAWSKA27 w odniesieniu do wymagań określonych w *Rozporządzeniu Ministra Klimatu z dnia 17 lutego 2020 r. w sprawie sposobów sprawdzania dotrzymania dopuszczalnych poziomów pól elektromagnetycznych w środowisku (Dz.U. 2022 poz. 2630)*.

6. Pomiary zostały wykonane przez:

Stanilewicz Tomasz

7. Informacje o źródłach pól elektromagnetycznych

7.1. Sposób identyfikacji badanych źródeł pól elektromagnetycznych

Identyfikacji źródeł i parametrów technicznych dokonano na podstawie analizy dokumentacji dotyczącej zlecenia oraz obserwacji miejsca wykonywania badań.

7.2. Opis miejsca zainstalowania anten i urządzeń technicznych. Opis obiektu badań i jego otoczenia

Instalacja radiokomunikacyjna zlokalizowana jest na terenie ogrodzonym. Anteny zawieszono na wieży kratowej. Urządzenia sterujące oraz zasilające zainstalowano w kontenerze u podstawy wieży. Wokół instalacji znajdują się tereny przemysłowe.

Instalacja radiokomunikacyjna jest obiektem bezobsługowym. Okresowe stanowiska pracy związane są z prowadzonymi w zależności od potrzeb konserwacjami, przeglądami, strojeniem i naprawami.

Sprawozdanie z badań bez pisemnej zgody laboratorium nie może być powielane inaczej niż w całości.
Wynik przedstawione w niniejszym sprawozdaniu odnoszą się wyłącznie do badanego obiektu i do warunków i konfiguracji urządzeń w dniu wykonywania pomiarów.

7.3. Parametry techniczne źródła pola elektromagnetycznego

Dane przedstawiające maksymalne parametry pracy instalacji przekazane przez zleceniodawcę:

Parametry systemu nadawczo-odbiorczego:

Charakterystyka promieniowania		kierunkowa					
Rzeczywisty czas pracy [h/dobę]		24					
Warunki pracy		znamionowe					
Rodzaj wytwarzanego pola		stacjonarne					
Lp.	Częstotliwość lub zakresy częstotliwości pracy [MHz]	Typ/producent anteny	liczba anten	Azymut [°]	kąt pochylenia [°]	Wysokość środka elektrycznego anteny [m n.p.t]	Równoważna moc promieniowana izotropowo (EIRP) [W]
1	900/1800/2100	ATR4518R11v06 Huawei	1	25	1-13**/5.5*/5.5*	35.3	17068
2	800	ATR4518R13v06 Huawei	1	25	1-13**	35.3	2583
3	3600	AQQQ NSN	1	25	0-12**	35.3	22646
4	900/1800/2100	ATR4518R11v06 Huawei	1	130	-5-7**/-5-7**/-5-7**	35.3	17068
5	800	ATR4518R13v06 Huawei	1	130	-4-8**	35.3	2583
6	3600	AQQQ NSN	1	130	0-12**	35.3	22646
7	900/1800/2100	ATR4518R11v06 Huawei	1	250	-2-10**/2.5*/2.5*	35.3	17068
8	800	ATR4518R13v06 Huawei	1	250	-2-10**	35.3	2583
9	3600	AQQQ NSN	1	250	0-12**	35.3	22646

* wskazane wartości kąta pochylenia anten, zgodnie z informacją uzyskaną od zleceniodawcy, są wartościami stałymi

** pomiary wykonano zgodnie z pkt 13., ppkt 2 załącznika do Rozporządzenia Ministra Klimatu z dnia 17 lutego 2020 r. (Dz. U. 2022, poz. 2630).

Sprawozdanie z badań bez pisemnej zgody laboratorium nie może być powielane inaczej niż w całości.
 Wynik przedstawione w niniejszym sprawozdaniu odnoszą się wyłącznie do badanego obiektu i do warunków i konfiguracji urządzeń w dniu wykonywania pomiarów.

Parametry radiolinii:

Charakterystyka promieniowania			kierunkowa				
Rzeczywisty czas pracy [h/dobę]			24				
Warunki pracy			znamionowe				
Rodzaj wytwarzanego pola			stacjonarne				
Lp.	Linia radiowa			Antena			
	Typ/ Producent	Częstotliwość pracy [GHz]	Równoważna moc promieniowana izotropowo (EIRP) [W]	Typ/ producent	Średnica anteny [m]	Azymut [°]	Wysokość zainstalowania n.p.t [m]
1.	NEC iPasolink 100E Harris Stratex	38	708	VHLP1-38 Andrew	0.3	70	42
2.	NP ERICSSON RAU2X 23GHZ 2x56MHz XPIC Ericsson	23	2959	ANT2_0.6 23 HP/HPX Ericsson	0.6	207	40.2
3.	NEC iPasolink 100E Harris Stratex	38	4	VHLP1-38 Andrew	0.3	295	42
4.	RTN 380AX DC 70/80GHz 250MHz Huawei	80	7080	A80S06 Huawei	0.6	309	41
5.	ERICSSON CN510 6363 Harris Stratex	38	13	ANT3_0.3 38 HP/HPX Ericsson	0.3	358	42

7.4 Inne źródła pól elektromagnetycznych

Na podstawie informacji otrzymanych od użytkownika oraz obserwacji otoczenia miejsca wykonywania pomiarów nie stwierdzono występowania innych źródeł pola-EM

8. Opis pomiarów

8.1. Metoda badań

Zgodna z rozporządzeniem Ministra Klimatu z dnia 17 lutego 2020 r. w sprawie sposobów sprawdzania dotrzymania dopuszczalnych poziomów pól elektromagnetycznych w środowisku (Dz.U. 2022 poz. 2630), określona w pkt 25 ppkt 1 załącznika do niniejszego rozporządzenia.

8.2. Termin pomiarów i warunki środowiskowe

Podczas wykonywania pomiarów pól elektromagnetycznych nie występowały opady atmosferyczne. Wyniki pomiaru parametrów pogodowych przedstawia poniższa tabela:

Data [rrrr-mm-dd]	Godzina [hh:mm-hh:mm]	Warunki środowiskowe			
		Temperatura [°C]		Wilgotność względna [%]	
2024-01-27	07:35-08:55	Przed pomiarem	Po pomiarach	Przed pomiarem	Po pomiarach
		1.8	2.1	69.4	68.5

Przedstawione wyżej warunki środowiskowe, występujące podczas wykonywania pomiarów pól elektromagnetycznych, są zgodne ze specyfikacją techniczną użytego zestawu pomiarowego.

Sprawozdanie z badań bez pisemnej zgody laboratorium nie może być powielane inaczej niż w całości.
 Wynik przedstawione w niniejszym sprawozdaniu odnoszą się wyłącznie do badanego obiektu i do warunków i konfiguracji urządzeń w dniu wykonywania pomiarów.

8.3. Warunki pracy urządzeń nadawczych

Podczas pomiarów w przypadku uzyskania wyniku pomiaru szerokopasmowego wykonanego zastosowaną metodą, dla zakresów częstotliwości od 10 MHz do 300 GHz, powiększonego o rozszerzoną niepewność pomiaru U dla współczynnika rozszerzenia $k = 2$ przekraczającego 70% najniższej dopuszczalnej wartości składowej elektrycznej lub magnetycznej pola dla objętych pomiarami zakresów częstotliwości, uwzględnia się poprawki pomiarowe przekazane przez zleceniodawcę, umożliwiające uwzględnienie maksymalnych parametrów pracy instalacji zgodnie z pkt 7 załącznika do Rozporządzeniem Ministra Klimatu z dnia 17 lutego 2020 r. w sprawie sposobów sprawdzania dotrzymania dopuszczalnych poziomów pól elektromagnetycznych w środowisku (Dz. U. 2022, poz. 2630) zaznaczając, że wymagane jest wykonanie pomiaru z wykorzystaniem miernika selektywnego. W przypadku uzyskania wyniku pomiaru szerokopasmowego wykonanego zastosowaną metodą, dla zakresów częstotliwości od 10 MHz do 300 GHz, powiększonego o rozszerzoną niepewność pomiaru U dla współczynnika rozszerzenia $k = 2$ nieprzekraczającego 70% najniższej dopuszczalnej wartości składowej elektrycznej lub magnetycznej pola dla objętych pomiarami zakresów częstotliwości, nie uwzględnia się poprawek pomiarowych.

8.4. Wyposażenie pomiarowe

Zestaw pomiarowy służący do pomiaru natężenia składowej elektrycznej pola elektromagnetycznego złożony z szerokopasmowego miernika i sondy pomiarowej:

Oznaczenie miernika	Producent	Model	Numer fabryczny	Oznaczenie sondy	Producent	Model	Numer fabryczny
MW-12	Wavecontrol	Miernik pól elektromagnetycznych SMP3	23SL0223	SW-23	Wavecontrol	Sonda WPF90	23WP260007

Mierniki natężenia pola elektromagnetycznego podlegają okresowemu sprawdzeniu zgodnie z procedurą wewnętrzną P-03 i PB-01. Świadectwo wzorcowania zestawu pomiarowego z dnia 11 września 2023 o numerze LWiMP/W/332/22 wydane przez Politechnikę Wrocławską.
 Data ważności świadectwa wzorcowania: 11 września 2025 (zgodnie z procedurą wewnętrzną P-03).

Oznaczenie miernika	Producent	Model	Numer fabryczny	Oznaczenie sondy	Producent	Model	Numer fabryczny
MW-12	Wavecontrol	Miernik pól elektromagnetycznych SMP3	23SL0223	SW-24	Wavecontrol	Sonda WPF6-HP	23WP060416

Mierniki natężenia pola elektromagnetycznego podlegają okresowemu sprawdzeniu zgodnie z procedurą wewnętrzną P-03 i PB-01. Świadectwo wzorcowania zestawu pomiarowego z dnia 11 września 2023 o numerze LWiMP/W/332/22 wydane przez Politechnikę Wrocławską.
 Data ważności świadectwa wzorcowania: 11 września 2025 (zgodnie z procedurą wewnętrzną P-03).

Termohigrometr:

Oznaczenie:	TH-24	Producent:	AZ INSTRUMENT CORP	Model:	Termohigrometr AZ8706
-------------	-------	------------	--------------------	--------	-----------------------

Data ważności świadectwa wzorcowania: 12 lipca 2025 (zgodnie z procedurą wewnętrzną P-03).

Dalmierz:

Oznaczenie	Producent	Typ	Numer seryjny	Nr świadectwa wzorcowania	Data świadectwa wzorcowania
D-22	Leica	Dalmierz Leica Disto D510	1030440527	Z3- Z32.4180.152.2023.3253.2	23 października 2023

Data ważności świadectwa wzorcowania: 23 października 2033 (zgodnie z procedurą wewnętrzną P-03).

Odbiornik GNSS:

Odbiornik GNSS wbudowany w miernik natężenia pola elektromagnetycznego użyty podczas pomiarów	Producent	Model
	UBlox	MAX-M8Q

Odbiorniki podlegają okresowemu sprawdzeniu zgodnie z procedurą wewnętrzną P-03.

Sprawozdanie z badań bez pisemnej zgody laboratorium nie może być powielane inaczej niż w całości.
 Wynik przedstawione w niniejszym sprawozdaniu odnoszą się wyłącznie do badanego obiektu i do warunków i konfiguracji urządzeń w dniu wykonywania pomiarów.

9. Wyniki pomiarów

Pole elektryczne

Nr pionu	Opis umiejscowienia pionu (punktu pomiarowego)	Wysokość pomiaru [m]	Zmierzona wartość natężenia pola elektrycznego E [V/m] ^{1,5}			Wartość natężenia pola elektrycznego powiększona o niepewność pomiaru ⁴ E [V/m]	Wskaźnikowa wartość poziomu emisji pól elektromagnetycznych WME ³	Współrzędne geograficzne pionu (punktu pomiarowego) ²
			Sonda SW-23	Sonda SW-24	SUMA			
1	GKP w odległości 6m od anteny sektorowej az. 25°	0.3-2.0	<1.0*	<1.0*	<1.0*	1.3	0.05	53°4'8.0" 21°32'31.2"
2	GKP w odległości 41m od anteny sektorowej az. 25°	0.3-2.0	<1.0*	<1.0*	<1.0*	1.3	0.05	53°4'8.8" 21°32'31.9"
3	GKP w odległości 82m od anteny sektorowej az. 25°	0.3-2.0	<1.0*	<1.0*	<1.0*	1.3	0.05	53°4'10.2" 21°32'32.6"
4	GKP w odległości 31m od anteny radioliniowej az. 70°	0.3-2.0	<1.0*	<1.0*	<1.0*	1.3	0.05	53°4'8.0" 21°32'32.6"
5	GKP w odległości 4m od anteny sektorowej az. 130°	0.3-2.0	<1.0*	<1.0*	<1.0*	1.3	0.05	53°4'7.7" 21°32'31.2"
6	GKP w odległości 40m od anteny sektorowej az. 130°	0.3-2.0	<1.0*	<1.0*	<1.0*	1.3	0.05	53°4'7.0" 21°32'32.6"
7	GKP w odległości 83m od anteny sektorowej az. 130°	0.3-2.0	<1.0*	<1.0*	<1.0*	1.3	0.05	53°4'5.9" 21°32'34.4"
8	GKP w odległości 6m od anteny sektorowej az. 250°	0.3-2.0	<1.0*	<1.0*	<1.0*	1.3	0.05	53°4'7.7" 21°32'30.5"
9	GKP w odległości 41m od anteny sektorowej az. 250°	0.3-2.0	<1.0*	<1.0*	<1.0*	1.3	0.05	53°4'7.3" 21°32'28.7"
10	GKP w odległości 82m od anteny sektorowej az. 250°	0.3-2.0	<1.0*	<1.0*	<1.0*	1.3	0.05	53°4'6.6" 21°32'26.5"
11	GKP w odległości 37m od anteny radioliniowej az. 295°	0.3-2.0	<1.0*	<1.0*	<1.0*	1.3	0.05	53°4'8.0" 21°32'29.0"
12	GKP w odległości 35m od anteny radioliniowej az. 309°	0.3-2.0	<1.0*	<1.0*	<1.0*	1.3	0.05	53°4'8.4" 21°32'29.4"
13	GKP w odległości 32m od anteny radioliniowej az. 358°	0.3-2.0	<1.0*	<1.0*	<1.0*	1.3	0.05	53°4'8.8" 21°32'30.8"
14	GKP w odległości 28m od anteny radioliniowej az. 207°	0.3-2.0	<1.0*	<1.0*	<1.0*	1.3	0.05	53°4'7.0" 21°32'30.1"
15	PKP na az. 350° w odległości 42m od anteny sektorowej az. 25°	0.3-2.0	<1.0*	<1.0*	<1.0*	1.3	0.05	53°4'9.1" 21°32'30.5"

Sprawozdanie z badań bez pisemnej zgody laboratorium nie może być powielane inaczej niż w całości.
 Wynik przedstawione w niniejszym sprawozdaniu odnoszą się wyłącznie do badanego obiektu i do warunków i konfiguracji urządzeń w dniu wykonywania pomiarów.

16	PKP na az. 5° w odległości 42m od anteny sektorowej az. 25°	0.3-2.0	<1.0*	<1.0*	<1.0*	1.3	0.05	53°4'9.1" 21°32'31.2"
17	PKP na az. 18° w odległości 41m od anteny sektorowej az. 25°	0.3-2.0	<1.0*	<1.0*	<1.0*	1.3	0.05	53°4'9.1" 21°32'31.6"
18	PKP na az. 32° w odległości 41m od anteny sektorowej az. 25°	0.3-2.0	<1.0*	<1.0*	<1.0*	1.3	0.05	53°4'8.8" 21°32'32.3"
19	PKP na az. 45° w odległości 40m od anteny sektorowej az. 25°	0.3-2.0	<1.0*	<1.0*	<1.0*	1.3	0.05	53°4'8.8" 21°32'32.6"
20	PKP na az. 60° w odległości 40m od anteny sektorowej az. 25°	0.3-2.0	<1.0*	<1.0*	<1.0*	1.3	0.05	53°4'8.4" 21°32'33.0"
21	PKP na az. 95° w odległości 41m od anteny sektorowej az. 130°	0.3-2.0	<1.0*	<1.0*	<1.0*	1.3	0.05	53°4'7.7" 21°32'33.0"
22	PKP na az. 110° w odległości 41m od anteny sektorowej az. 130°	0.3-2.0	<1.0*	<1.0*	<1.0*	1.3	0.05	53°4'7.3" 21°32'33.0"
23	PKP na az. 123° w odległości 41m od anteny sektorowej az. 130°	0.3-2.0	<1.0*	<1.0*	<1.0*	1.3	0.05	53°4'7.0" 21°32'33.0"
24	PKP na az. 137° w odległości 41m od anteny sektorowej az. 130°	0.3-2.0	<1.0*	<1.0*	<1.0*	1.3	0.05	53°4'6.6" 21°32'32.6"
25	PKP na az. 150° w odległości 41m od anteny sektorowej az. 130°	0.3-2.0	<1.0*	<1.0*	<1.0*	1.3	0.05	53°4'6.6" 21°32'31.9"
26	PKP na az. 165° w odległości 42m od anteny sektorowej az. 130°	0.3-2.0	<1.0*	<1.0*	<1.0*	1.3	0.05	53°4'6.2" 21°32'31.6"
27	PKP na az. 215° w odległości 41m od anteny sektorowej az. 250°	0.3-2.0	<1.0*	<1.0*	<1.0*	1.3	0.05	53°4'6.6" 21°32'29.4"
28	PKP na az. 230° w odległości 41m od anteny sektorowej az. 250°	0.3-2.0	<1.0*	<1.0*	<1.0*	1.3	0.05	53°4'7.0" 21°32'29.0"
29	PKP na az. 243° w odległości 41m od anteny sektorowej az. 250°	0.3-2.0	<1.0*	<1.0*	<1.0*	1.3	0.05	53°4'7.0" 21°32'28.7"
30	PKP na az. 257° w odległości 41m od anteny sektorowej az. 250°	0.3-2.0	<1.0*	<1.0*	<1.0*	1.3	0.05	53°4'7.3" 21°32'28.7"

Sprawozdanie z badań bez pisemnej zgody laboratorium nie może być powielane inaczej niż w całości.
 Wynik przedstawione w niniejszym sprawozdaniu odnoszą się wyłącznie do badanego obiektu i do warunków i konfiguracji urządzeń w dniu wykonywania pomiarów.

31	PKP na az. 270° w odległości 41m od anteny sektorowej az. 250°	0.3-2.0	<1.0*	<1.0*	<1.0*	1.3	0.05	53°4'7.7" 21°32'28.7"
32	PKP na az. 285° w odległości 41m od anteny sektorowej az. 250°	0.3-2.0	<1.0*	<1.0*	<1.0*	1.3	0.05	53°4'8.0" 21°32'28.7"
-	GKP w odległości 231m od anteny sektorowej az. 25°	0.3-2.0	<1.0*	<1.0*	<1.0*	1.3	0.05	53°4'14.5" 21°32'36.2"
-	GKP w odległości 210m od anteny sektorowej az. 130°	0.3-2.0	<1.0*	<1.0*	<1.0*	1.3	0.05	53°4'3.4" 21°32'39.5"
-	GKP w odległości 310m od anteny sektorowej az. 130°	0.3-2.0	<1.0*	<1.0*	<1.0*	1.3	0.05	53°4'1.2" 21°32'43.8"
-	GKP w odległości 181m od anteny sektorowej az. 250°	0.3-2.0	<1.0*	<1.0*	<1.0*	1.3	0.05	53°4'5.5" 21°32'21.5"
-	GKP w odległości 289m od anteny sektorowej az. 250°	0.3-2.0	<1.0*	<1.0*	<1.0*	1.3	0.05	53°4'4.4" 21°32'16.1"

Pole magnetyczne (wyznaczone na podstawie pomiaru wartości natężenia pola elektrycznego)

Nr pionu	Opis umiejscowienia pionu (punktu) pomiarowego	Wysokość pomiaru [m]	Wartość natężenia pola magnetycznego H [A/m] ¹			Wartość natężenia pola magnetycznego powiększona o niepewność pomiaru ⁴ H [A/m]	Wskaźnik wa wartość poziomu emisji pól elektromag- netycznych WM _H ³	Współrzędne geograficzne pionu (punktu) pomiarowego ²
			Sonda SW-23	Sonda SW- 24	SUMA			
1	GKP w odległości 6m od anteny sektorowej az. 25°	0.3-2.0	<0.003*	<0.003*	<0.003*	0.003	0.05	53°4'8.0" 21°32'31.2"
2	GKP w odległości 41m od anteny sektorowej az. 25°	0.3-2.0	<0.003*	<0.003*	<0.003*	0.003	0.05	53°4'8.8" 21°32'31.9"
3	GKP w odległości 82m od anteny sektorowej az. 25°	0.3-2.0	<0.003*	<0.003*	<0.003*	0.003	0.05	53°4'10.2" 21°32'32.6"
4	GKP w odległości 31m od anteny radioliniowej az. 70°	0.3-2.0	<0.003*	<0.003*	<0.003*	0.003	0.05	53°4'8.0" 21°32'32.6"
5	GKP w odległości 4m od anteny sektorowej az. 130°	0.3-2.0	<0.003*	<0.003*	<0.003*	0.003	0.05	53°4'7.7" 21°32'31.2"
6	GKP w odległości 40m od anteny sektorowej az. 130°	0.3-2.0	<0.003*	<0.003*	<0.003*	0.003	0.05	53°4'7.0" 21°32'32.6"
7	GKP w odległości 83m od anteny sektorowej az. 130°	0.3-2.0	<0.003*	<0.003*	<0.003*	0.003	0.05	53°4'5.9" 21°32'34.4"

Sprawozdanie z badań bez pisemnej zgody laboratorium nie może być powielane inaczej niż w całości.
 Wynik przedstawione w niniejszym sprawozdaniu odnoszą się wyłącznie do badanego obiektu i do warunków i konfiguracji
 urządzeń w dniu wykonywania pomiarów.

8	GKP w odległości 6m od anteny sektorowej az. 250°	0.3-2.0	<0.003*	<0.003*	<0.003*	0.003	0.05	53°4'7.7" 21°32'30.5"
9	GKP w odległości 41m od anteny sektorowej az. 250°	0.3-2.0	<0.003*	<0.003*	<0.003*	0.003	0.05	53°4'7.3" 21°32'28.7"
10	GKP w odległości 82m od anteny sektorowej az. 250°	0.3-2.0	<0.003*	<0.003*	<0.003*	0.003	0.05	53°4'6.6" 21°32'26.5"
11	GKP w odległości 37m od anteny radioliniowej az. 295°	0.3-2.0	<0.003*	<0.003*	<0.003*	0.003	0.05	53°4'8.0" 21°32'29.0"
12	GKP w odległości 35m od anteny radioliniowej az. 309°	0.3-2.0	<0.003*	<0.003*	<0.003*	0.003	0.05	53°4'8.4" 21°32'29.4"
13	GKP w odległości 32m od anteny radioliniowej az. 358°	0.3-2.0	<0.003*	<0.003*	<0.003*	0.003	0.05	53°4'8.8" 21°32'30.8"
14	GKP w odległości 28m od anteny radioliniowej az. 207°	0.3-2.0	<0.003*	<0.003*	<0.003*	0.003	0.05	53°4'7.0" 21°32'30.1"
15	PKP na az. 350° w odległości 42m od anteny sektorowej az. 25°	0.3-2.0	<0.003*	<0.003*	<0.003*	0.003	0.05	53°4'9.1" 21°32'30.5"
16	PKP na az. 5° w odległości 42m od anteny sektorowej az. 25°	0.3-2.0	<0.003*	<0.003*	<0.003*	0.003	0.05	53°4'9.1" 21°32'31.2"
17	PKP na az. 18° w odległości 41m od anteny sektorowej az. 25°	0.3-2.0	<0.003*	<0.003*	<0.003*	0.003	0.05	53°4'9.1" 21°32'31.6"
18	PKP na az. 32° w odległości 41m od anteny sektorowej az. 25°	0.3-2.0	<0.003*	<0.003*	<0.003*	0.003	0.05	53°4'8.8" 21°32'32.3"
19	PKP na az. 45° w odległości 40m od anteny sektorowej az. 25°	0.3-2.0	<0.003*	<0.003*	<0.003*	0.003	0.05	53°4'8.8" 21°32'32.6"
20	PKP na az. 60° w odległości 40m od anteny sektorowej az. 25°	0.3-2.0	<0.003*	<0.003*	<0.003*	0.003	0.05	53°4'8.4" 21°32'33.0"
21	PKP na az. 95° w odległości 41m od anteny sektorowej az. 130°	0.3-2.0	<0.003*	<0.003*	<0.003*	0.003	0.05	53°4'7.7" 21°32'33.0"
22	PKP na az. 110° w odległości 41m od anteny sektorowej az. 130°	0.3-2.0	<0.003*	<0.003*	<0.003*	0.003	0.05	53°4'7.3" 21°32'33.0"

Sprawozdanie z badań bez pisemnej zgody laboratorium nie może być powielane inaczej niż w całości.
 Wynik przedstawione w niniejszym sprawozdaniu odnoszą się wyłącznie do badanego obiektu i do warunków i konfiguracji urządzeń w dniu wykonywania pomiarów.

23	PKP na az. 123° w odległości 41m od anteny sektorowej az. 130°	0.3-2.0	<0.003*	<0.003*	<0.003*	0.003	0.05	53°4'7.0" 21°32'33.0"
24	PKP na az. 137° w odległości 41m od anteny sektorowej az. 130°	0.3-2.0	<0.003*	<0.003*	<0.003*	0.003	0.05	53°4'6.6" 21°32'32.6"
25	PKP na az. 150° w odległości 41m od anteny sektorowej az. 130°	0.3-2.0	<0.003*	<0.003*	<0.003*	0.003	0.05	53°4'6.6" 21°32'31.9"
26	PKP na az. 165° w odległości 42m od anteny sektorowej az. 130°	0.3-2.0	<0.003*	<0.003*	<0.003*	0.003	0.05	53°4'6.2" 21°32'31.6"
27	PKP na az. 215° w odległości 41m od anteny sektorowej az. 250°	0.3-2.0	<0.003*	<0.003*	<0.003*	0.003	0.05	53°4'6.6" 21°32'29.4"
28	PKP na az. 230° w odległości 41m od anteny sektorowej az. 250°	0.3-2.0	<0.003*	<0.003*	<0.003*	0.003	0.05	53°4'7.0" 21°32'29.0"
29	PKP na az. 243° w odległości 41m od anteny sektorowej az. 250°	0.3-2.0	<0.003*	<0.003*	<0.003*	0.003	0.05	53°4'7.0" 21°32'28.7"
30	PKP na az. 257° w odległości 41m od anteny sektorowej az. 250°	0.3-2.0	<0.003*	<0.003*	<0.003*	0.003	0.05	53°4'7.3" 21°32'28.7"
31	PKP na az. 270° w odległości 41m od anteny sektorowej az. 250°	0.3-2.0	<0.003*	<0.003*	<0.003*	0.003	0.05	53°4'7.7" 21°32'28.7"
32	PKP na az. 285° w odległości 41m od anteny sektorowej az. 250°	0.3-2.0	<0.003*	<0.003*	<0.003*	0.003	0.05	53°4'8.0" 21°32'28.7"
-	GKP w odległości 231m od anteny sektorowej az. 25°	0.3-2.0	<0.003*	<0.003*	<0.003*	0.003	0.05	53°4'14.5" 21°32'36.2"
-	GKP w odległości 210m od anteny sektorowej az. 130°	0.3-2.0	<0.003*	<0.003*	<0.003*	0.003	0.05	53°4'3.4" 21°32'39.5"

Sprawozdanie z badań bez pisemnej zgody laboratorium nie może być powielane inaczej niż w całości.
 Wynik przedstawione w niniejszym sprawozdaniu odnoszą się wyłącznie do badanego obiektu i do warunków i konfiguracji urządzeń w dniu wykonywania pomiarów.

-	GKP w odległości 310m od anteny sektorowej az. 130°	0.3-2.0	<0.003*	<0.003*	<0.003*	0.003	0.05	53°4'1.2" 21°32'43.8"
-	GKP w odległości 181m od anteny sektorowej az. 250°	0.3-2.0	<0.003*	<0.003*	<0.003*	0.003	0.05	53°4'5.5" 21°32'21.5"
-	GKP w odległości 289m od anteny sektorowej az. 250°	0.3-2.0	<0.003*	<0.003*	<0.003*	0.003	0.05	53°4'4.4" 21°32'16.1"

GKP – Główny Kierunek Pomiarowy

PKP – Pomocniczy Kierunek Pomiarowy

¹ wyniki oznaczone * są wynikami poniżej czułości zestawu pomiarowego i są wynikami spoza zakresu akredytacji. Do obliczenia wyniku skorygowanego przyjęto wartość skorelowaną z rzeczywistym wynikiem pomiaru - dolną granicę akredytowanego zakresu pomiarowego metody

² współrzędne geograficzne pozyskane metodą pomiaru bezpośredniego

³ do wyznaczenia wartości wskaźnikowej W_{Me} i W_{Mh} przyjęto na podstawie uzgodnień z klientem oraz rozpoznania źródeł, jako wartości dopuszczalne pola elektrycznego i magnetycznego odpowiednio 28 V/m i 0,073 A/m.

⁴ do wyznaczenia niepewności dla wyników poniżej czułości zestawu pomiarowego, przyjęto niepewność dla minimalnej wartości z zakresu pomiarowego.

⁵ maksymalna wartość chwilowa

Niepewność oszacowano zgodnie z dokumentem P-03 „Procedura nadzoru nad wyposażeniem” w postaci niepewności rozszerzonej wynikającej z niepewności standardowej pomnożonej przez współczynnik rozszerzenia $k=2$.

Całkowita szacowana niepewność rozszerzona składowej E wynosi odpowiednio:

sonda SW-23: 29.1% dla częstotliwości do 4 GHz, sonda SW-24: 26.8% dla częstotliwości do 4 GHz

Umieszczenie pionów (punktów) pomiarowych przedstawiono w załączniku nr 2 do niniejszego sprawozdania.

10. Omówienie wyników pomiarów

W związku z tym, że żadna z wartości zmierzonych, udokumentowanych w tabelach w pkt. 9, uzyskanych w skutek zastosowania pomiaru szerokopasmowego, powiększonego o rozszerzoną niepewność pomiaru U dla współczynnika rozszerzenia $k = 2$ nie przekroczyła 70% najniższej dopuszczalnej wartości składowej elektrycznej lub magnetycznej pola dla objętych pomiarami zakresów częstotliwości, nie uwzględnia się poprawek pomiarowych.

W wyniku zastosowania sposobu sprawdzenia dotrzymania dopuszczalnych poziomów pól elektromagnetycznych w środowisku, zgodnie pkt 25 ppkt 1 Rozporządzenia Ministra Klimatu z dnia 17 lutego 2020 r. (Dz. U. 2022, poz. 2630), w związku z tym, że żadna z wartości wskaźnikowych, udokumentowanych w tabelach w pkt. 9 nie przekracza wartości 1, stwierdza się, że w miejscach, w których wykonano pomiary w otoczeniu instalacji radiokomunikacyjnej 23015 (94014N!) WOS_OSTROLEKA_WARSZAWSKA27, dopuszczalne poziomy pól elektromagnetycznych w środowisku należy uznać za dotrzymane.

Sprawozdanie z badań bez pisemnej zgody laboratorium nie może być powielane inaczej niż w całości.
 Wynik przedstawione w niniejszym sprawozdaniu odnoszą się wyłącznie do badanego obiektu i do warunków i konfiguracji urządzeń w dniu wykonywania pomiarów.

11. Podstawa prawna

- 1) Ustawa z dnia 27 kwietnia 2001 r. Prawo ochrony środowiska (Dz.U. 2022 poz. 2556)
- 2) Rozporządzenie Ministra Zdrowia z dnia 17 grudnia 2019 r. w sprawie dopuszczalnych poziomów pól elektromagnetycznych w środowisku (Dz. U. 2019, poz. 2448)
- 3) Rozporządzenie Ministra Klimatu z dnia 17 lutego 2020 r. w sprawie sposobów sprawdzania dotrzymania dopuszczalnych poziomów pól elektromagnetycznych w środowisku (Dz. U. 2022, poz. 2630),
- 4) Akredytacja nr AB 419 wydana przez Polskie Centrum Akredytacji (wydanie 22, z dnia 9 stycznia 2024 r.)

12. Spis załączników

- Załącznik 1. Lokalizacja obiektu badań
Załącznik 2. Usytuowanie pionów (punktów) pomiarowych
Załącznik 3. Dokumentacja fotograficzna obiektu badań

13. Data wydania i autoryzowania sprawozdania

Obliczenia i sprawozdanie wykonał :



Signed by /
Podpisano przez:

Karolina
Katarzyna
Palacios

Date / Data:
2024-01-27 18:04

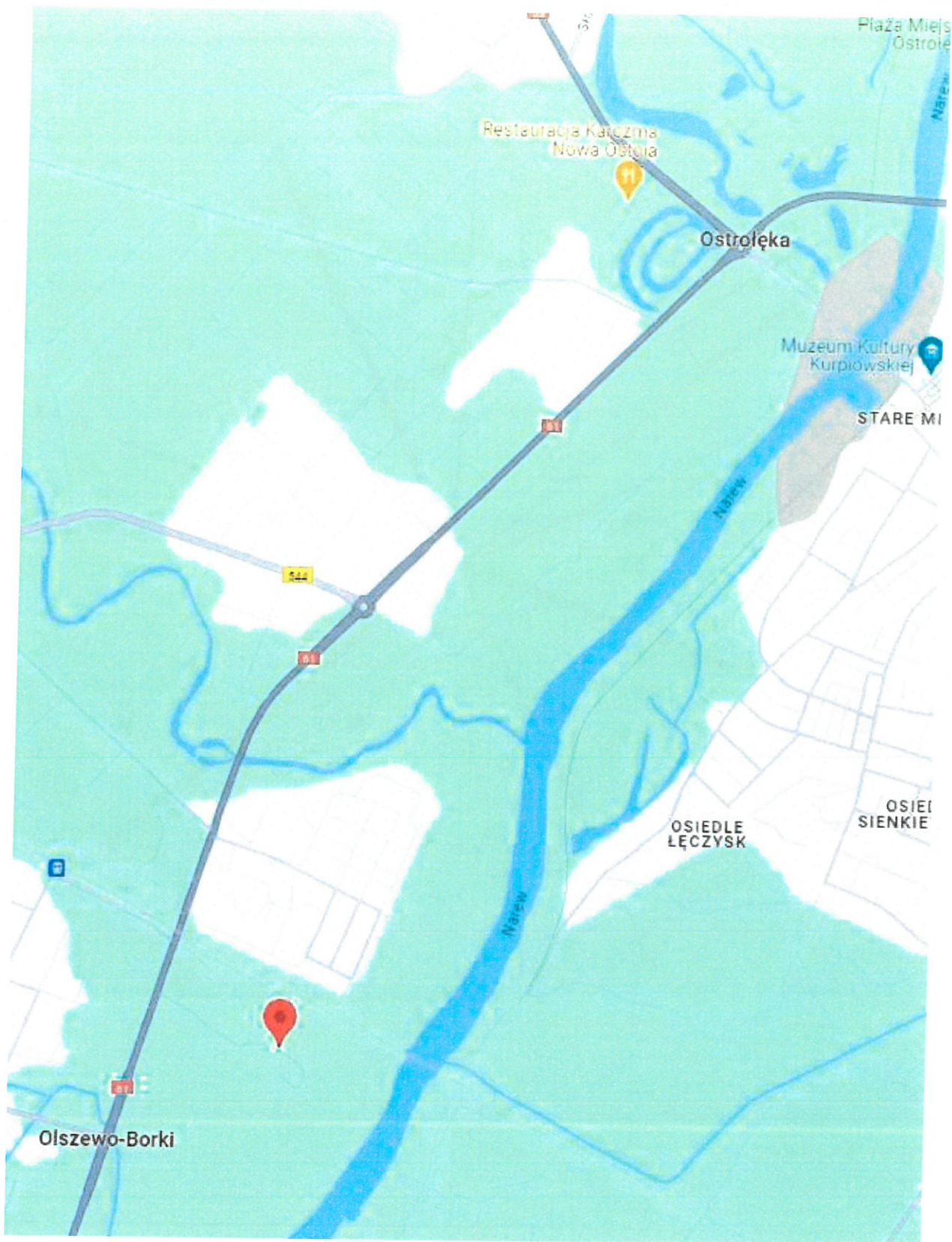
Sprawozdanie autoryzował:

Tomasz
Zborowski

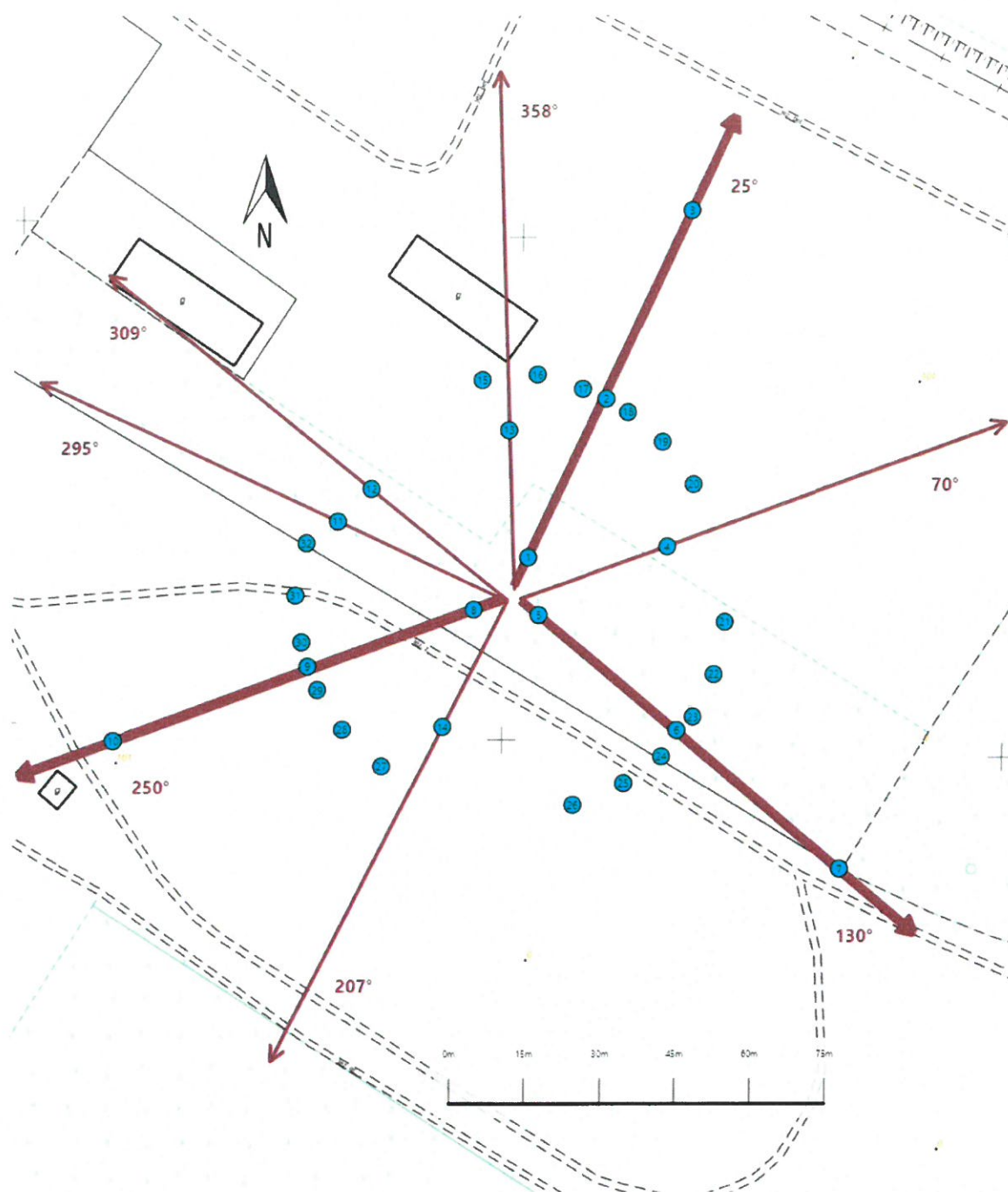
Elektronicznie podpisany
przez Tomasz Zborowski
Data: 2024.01.28 20:10:18
+01'00'





Koniec sprawozdania

Sprawozdanie z badań bez pisemnej zgody laboratorium nie może być powielane inaczej niż w całości.
Wynik przedstawione w niniejszym sprawozdaniu odnoszą się wyłącznie do badanego obiektu i do warunków i konfiguracji urządzeń w dniu wykonywania pomiarów.



Załącznik nr 1	Instalacja radiokomunikacyjna T-Mobile Polska S.A. (94014N1) WOS OSTROLEKA_WARSZAWSKA27 Lokalizacja instalacji
----------------	--



Załącznik nr 2	Instalacja radiokomunikacyjna T-Mobile Polska S.A. WOS_OSTROLEKA_WARSZAWSKA27 (94014N!) Usytuowanie pionów pomiarowych w otoczeniu instalacji radiokomunikacyjnej
	Legenda: <div style="display: flex; justify-content: space-around; align-items: center;"> <div style="text-align: center;">  Brak dostępu </div> <div style="text-align: center;">  Pion pomiarowy </div> <div style="text-align: center;">  Kierunek oddziaływania anten sektorowych </div> <div style="text-align: center;">  Kierunek oddziaływania anten radioliniowych </div> </div>



Załącznik nr 3

Instalacja radiokomunikacyjna T-Mobile Polska S.A.
(94014N!) WOS_OSTROLEKA_WARSZAWSKA27

Dokumentacja fotograficzna

